

УДК 629.7.023:539.4.384.4

НЕЛИНЕЙНОЕ ДЕФОРМИРОВАНИЕ И УСТОЙЧИВОСТЬ ОВАЛЬНЫХ ЦИЛИНДРИЧЕСКИХ ОБОЛОЧЕК ПРИ ЧИСТОМ ИЗГИБЕ С ВНУТРЕННИМ ДАВЛЕНИЕМ

Л. П. Железнов, В. В. Кабанов, Д. В. Бойко

Сибирский научно-исследовательский институт авиации им. С. А. Чаплыгина,
630051 Новосибирск
E-mail: lev@wsr.ru

Исследована задача устойчивости цилиндрических оболочек с овальным контуром поперечного сечения при комбинированном нагружении изгибающим моментом и внутренним давлением. Использован вариационный метод конечных элементов в перемещениях. Докритическое напряженно-деформированное состояние оболочек считается моментным и нелинейным. Определено влияние нелинейности деформирования оболочек и их оваллизации на величину критических нагрузок и формы потери устойчивости.

Ключевые слова: овальная цилиндрическая оболочка, изгиб моментом, внутреннее давление, нелинейное деформирование, устойчивость, метод конечных элементов.

Введение. Некруговые цилиндрические оболочки значительно экономичнее круговых. Применение их в конструкциях современных пассажирских самолетов позволяет эффективнее использовать внутренний объем гермокабин, повысить комфортность и пассажироемкость, уменьшить массу самолета. Примером может служить аэробус А-380 на 500 мест с двухэтажной гермокабиной овального поперечного сечения. Однако надежных методик расчета устойчивости таких гермокабин пока не создано, так как некруговые оболочки, в отличие от круговых, недостаточно исследованы на устойчивость. Это можно объяснить трудностями решения задач, обусловленными переменностью радиуса кривизны некруговых оболочек, приводящей к появлению переменных коэффициентов в уравнениях устойчивости. Известные решения задач устойчивости получены аналитическими методами и, как правило, в линейном приближении без учета моментности и нелинейности докритического состояния оболочек, т.е. в классической постановке. Рассматриваемый в данной работе случай нагружения овальных цилиндрических оболочек не исследовался даже в классической постановке.

Исследование нелинейного деформирования и устойчивости неподкрепленной оболочки. Исследуем задачу нелинейного деформирования и устойчивости консольной ($u = v = w = w_x = 0$) цилиндрической оболочки овального поперечного сечения при действии внутреннего давления q и краевого изгибающего момента M . Нагруженный край оболочки подкреплен жестким в своей плоскости шпангоутом. Действие изгибающего момента заменим действием неоднородных по направляющей оболочки осевых усилий $T = Mz_1/J$ (z_1 — расстояние от точек контура оболочки до горизонтальной оси AA ; J — момент инерции площади поперечного сечения относительно оси AA). Оболочка имеет длину $L = 2800$ мм, толщину $h = 3,3$ мм, модуль упругости материала $E = 7 \cdot 10^4$ МПа, коэффициент Пуассона $\nu = 0,3$.

Рассмотрим овал с полуосями a и b (рис. 1), построенный из двух пар окружностей следующим образом. Проводим окружность радиуса a с центром O до пересечения с по-

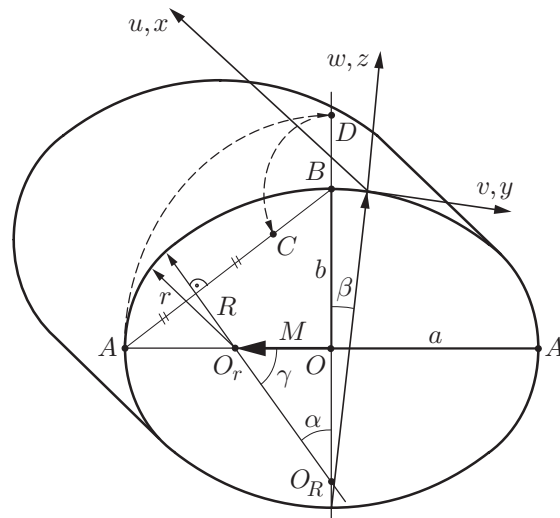


Рис. 1. Схема построения овала

луосью b . Затем проводим окружность радиуса $a - b$ до пересечения с прямой AB . Делим отрезок AC пополам, восстанавливаем к нему перпендикуляр. Проводим из центров O_r , O_R дуги окружностей малого r и большого R радиусов окружностей. Точка сопряжения дуг окружностей определяется углом α . Из условий построения овала получаем его геометрические характеристики

$$r = a \frac{1 + k^2 - \sqrt{1 + k^2}}{1 + k - \sqrt{1 + k^2}}, \quad R = a \frac{1 - k(\sqrt{1 + k^2} - k)}{1 + k - \sqrt{1 + k^2}}, \quad k = \operatorname{tg} \alpha = \frac{b}{a}.$$

Периметр овала $P = 4(R\alpha + r\gamma)$, $\gamma = \pi/2 - \alpha$. Радиус окружности с таким же периметром (эквипериметрический радиус) $R_0 = P/(2\pi) = 1000$ мм.

Для численного исследования задачи использован разработанный в [1, 2] вариант вариационного метода конечных элементов в перемещениях. В этом варианте применяется построенный авторами данной работы эффективный четырехугольный элемент оболочки естественной кривизны, в аппроксимациях перемещений которого в явном виде выделены перемещения его как твердого тела. При этом линиями главных кривизн оболочка разбивается на m частей по образующей и на n частей по направляющей. Таким образом, оболочка представляется в виде набора $m \times n$ конечных элементов. Деформационные перемещения точек конечного элемента аппроксимируются полиномами. Задача сводится к решению системы нелинейных алгебраических уравнений относительно узловых неизвестных элементов. Эта система решается шаговым методом по нагрузке с линеаризацией системы на каждом шаге по методу Ньютона — Канторовича. Линейная система решается методом Краута с разложением матрицы Гессе (матрицы вторых производных потенциальной энергии деформации оболочки) $H = LDL^T$ на диагональную и две треугольные матрицы. Контроль устойчивости оболочки осуществляется проверкой матрицы Гессе на положительную определенность по критерию Сильвестра, что сводится к проверке положительности элементов диагональной матрицы D . Появление отрицательных элементов соответствует потере устойчивости оболочки. После того как найдено значение параметра нагрузки, при котором равновесное состояние неустойчиво, отыскивается форма потери устойчивости оболочки из решения системы уравнений $H\delta = 0$, где δ — вектор бифуркационных узловых перемещений. Для этого определяется одна линейно зависящая (вырожденная) строка матрицы H , соответствующая первому отрицательному элементу матрицы D . Элементы этой строки и соответствующего столбца матрицы H полагают-

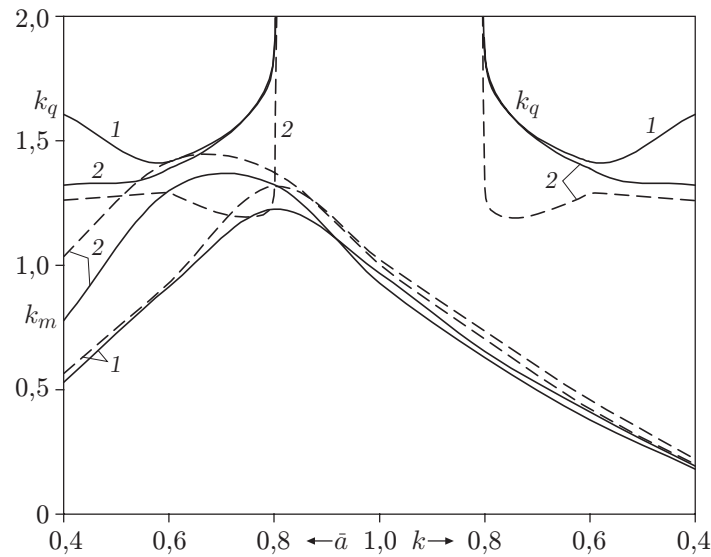


Рис. 2. Зависимости параметров k_m , k_q от параметра \bar{a} в случае раздельного действия нагрузок:

1 — эквипериметрические овальные оболочки; 2 — эллиптические оболочки; штриховые линии — линейное исходное напряженно-деформированное состояние; сплошные — нелинейное

ся равными нулю. На место диагонального коэффициента заносится единица, а в правую часть системы — соответствующий столбец, умноженный на докритическое перемещение, соответствующее вырожденной строке. Из решения полученной таким образом системы и отыскивается форма потери устойчивости оболочки. В случае предельной точки форма потери несущей способности отыскивается из нелинейного исходного напряженно-деформированного состояния для нагрузки, близкой к предельной.

Сходимость решения по числу конечных элементов имеет вид (Δ — погрешность)

$m \times n =$	5×120	10×120	20×120	30×120
$\Delta, \%$	30	5	1	0,5

В расчете с учетом симметрии нагрузок рассматривалась 1/4 оболочки, при этом в разрезах удовлетворялись условия симметрии.

На рис. 2 показаны зависимости параметров $k_m = M_0^*/M_0$, $k_q = q/q_e$ от параметра $\bar{a} = a/b$ в случае раздельного действия нагрузок (q , M_0^* — критические значения внутреннего давления и изгибающего момента; $q_e = \bar{q}E\gamma^2$; $\bar{q} = (24,1k + 130,2k^3 + 276,3k^5)\lambda^{-2}\gamma^{0,6}$; $\lambda = L/R_0$; $\gamma = h/R_0$; $k = b/a \leq 1$; $M_0 = \pi ER_0 h^2 / \sqrt{3(1-\nu^2)}$ — критическое значение изгибающего момента круговой цилиндрической оболочки радиусом R_0). Видно, что при действии внутреннего давления влияние нелинейности исходного напряженно-деформированного состояния эллиптических оболочек существенно в диапазонах $0,6 < \bar{a} < 0,8$ и $1,675 > \bar{a} > 1,25$. У овальных оболочек критические значения параметра k_q внутреннего давления существуют только в случае нелинейного исходного напряженно-деформированного состояния. Критические значения k_q овальных оболочек больше критических значений k_q эквипериметрических эллиптических оболочек. В диапазоне $0,8 < \bar{a} < 1,25$ как эллиптические, так и овальные оболочки вообще не теряют устойчивость при действии внутреннего давления.

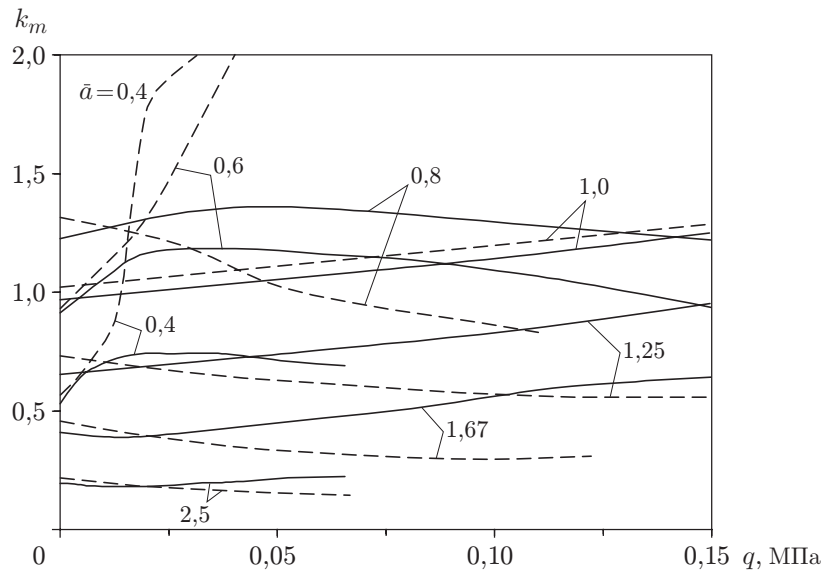


Рис. 3. Зависимости параметра k_m от внутреннего давления q для овальных оболочек

При действии изгибающего момента значительное влияние нелинейности наблюдается у эллиптических оболочек при $\bar{a} < 0,8$, у овальных — при $0,9 > \bar{a} > 0,7$. В диапазоне $\bar{a} < 0,8$ критические значения k_m овальных оболочек существенно меньше критических значений k_m эллиптических оболочек. В случае действия внутреннего давления нелинейность приводит к повышению критических нагрузок, а при действии изгибающего момента — к их снижению.

На рис. 3 показаны зависимости параметра $k_m = M_0^*/M_0$ от внутреннего давления q для овальных оболочек при различных значениях параметра \bar{a} для случаев линейного и нелинейного (штриховые и сплошные кривые соответственно) докритического напряженно-деформированного состояния. Видно, что влияние нелинейности напряженно-деформированного состояния у овальных оболочек имеет сложный характер. В большинстве случаев кривые, полученные на основе линейного решения, лежат выше кривых, полученных из нелинейного решения. При больших значениях внутреннего давления ($q > 0,05$) овальные оболочки с $\bar{a} = 0,4; 0,6$ не теряют устойчивости при линейном напряженно-деформированном состоянии. Кроме того, на рис. 3 видно, что с увеличением q критические значения параметра k_m увеличиваются при $\bar{a} > 1$. В этом случае внутреннее давление поддерживает оболочку. При $\bar{a} < 1$ большое внутреннее давление приводит к уменьшению критического момента. Такое расположение кривых характерно и для случаев эллиптических оболочек.

На рис. 4 показаны кривые зависимости $R_q(R_m)$ для овальных и эллиптических оболочек (сплошные и штриховые кривые соответственно) в случае нелинейного напряженно-деформированного состояния при различных значениях параметра оболочек \bar{a} ($R_q = k_q/k_{q0} = q/q_0$; $R_m = k_m/k_{m0} = M^*/M_0^*$; $k_q = q/q_e$; $k_m = M_0^*/M_0$; k_{q0} , k_{m0} — критические значения параметров k_q , k_m ; q_0 , M_0^* — критические значения q и M при отдельном нагружении). Точки этих кривых соответствуют критическим значениям параметров внутреннего давления и изгибающего момента. Большинство кривых имеют по два характерных участка, соответствующих различному влиянию внутреннего давления на устойчивость оболочек. Эти участки разделяются вертикальной прямой $R_m = 1$, давление здесь нейтрально. При $R_m > 1$ давление стабилизирует оболочки, оказывая поддержи-

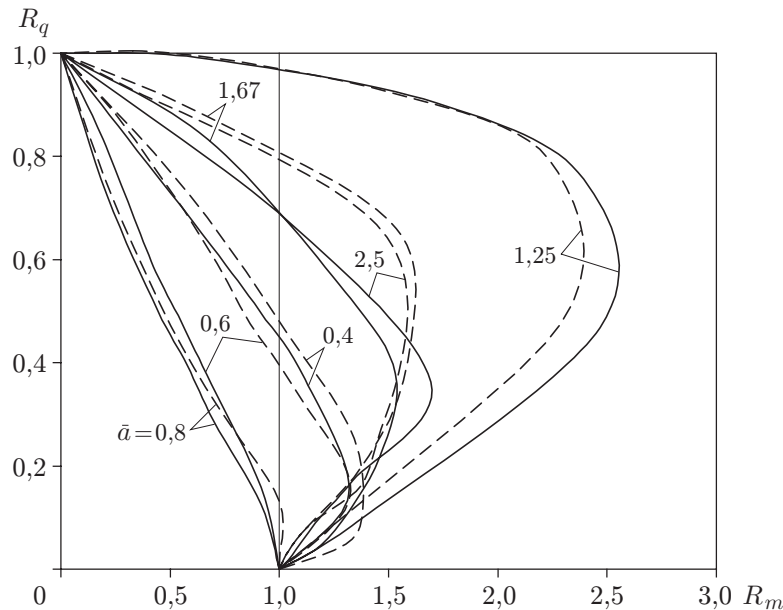


Рис. 4. Зависимости $R_q(R_m)$ для овальных (сплошные кривые) и эллиптических (штриховые кривые) оболочек

вающее действие, при $R_m < 1$ давление приводит к уменьшению значения критического момента.

На рис. 4 также видно, что при $\bar{a} < 1$ (вытянутые по вертикали оболочки) внутреннее давление в основном приводит к уменьшению значений критического изгибающего момента, а при $\bar{a} > 1$ (сплюснутые оболочки) — к их увеличению. Объяснить это можно расположением критических зон (мест потери устойчивости) при внутреннем давлении и изгибе моментом. При внутреннем давлении эти зоны расположены ближе к зонам оболочки большой кривизны, а при изгибе моментом — в зонах сжатия в верхней части оболочки. У вытянутых оболочек критические зоны от действия давления и изгиба перекрываются в большей степени, чем у сплюснутых. К тому же у сплюснутых оболочек зоны растяжения от действия внутреннего давления перекрываются зонами сжатия вследствие изгиба, стабилизируя оболочку.

Интересен обнаруженный факт неоднозначности влияния внутреннего давления на участках зависимостей $R_q(R_m)$ при $R_m > 1$. Зависимости $R_q(R_m)$ являются границами устойчивости и неустойчивости оболочек. Устойчивая оболочка при заданном значении $R_m > 1$ может потерять устойчивость как при понижении, так и при повышении внутреннего давления.

На рис. 5 представлены формы потери устойчивости оболочек при $q = 0,06$ МПа, $\bar{a} = 0,8$ (рис. 5,а) и $\bar{a} = 1,25$ (рис. 5,б). Форма потери устойчивости существенно зависит от отношения k_q/k_m . Вытянутые по вертикали оболочки теряют устойчивость в зоне сжатия с образованием нескольких наклонных складок, распространяющихся по всей длине оболочки, а сплюснутые оболочки теряют устойчивость, как при чистом изгибе, в зоне максимальных сжимающих продольных усилий. (Результаты получены при достаточной для сходимости решения сетке конечных элементов $m \times n = 30 \times 60$.)

Исследование прочности и устойчивости отсека фюзеляжа пассажирского самолета. В качестве примера рассмотрим подкрепленный стрингерами овальный отсек фюзеляжа пассажирского самолета. Отсек представляет собой оболочку, составленную из трех пар окружностей с радиусами, равными 1810, 1900, 2700 мм. Контур овала близок

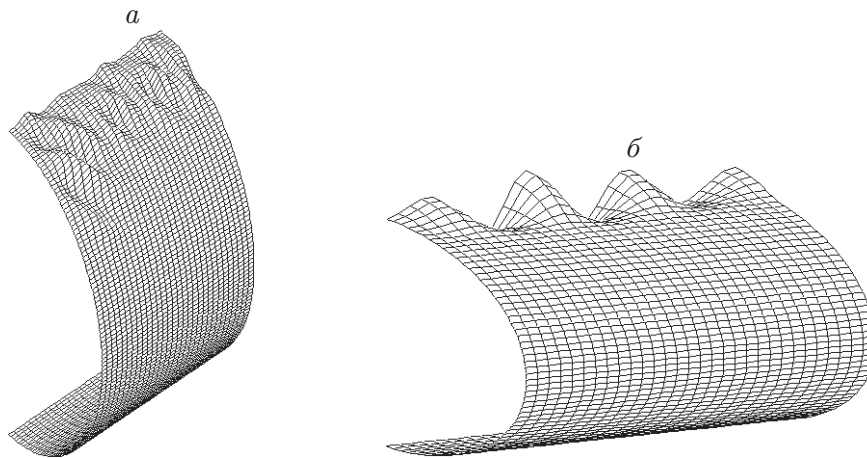


Рис. 5. Формы потери устойчивости вытянутых по вертикали (а) и сплюснутых (б) оболочек

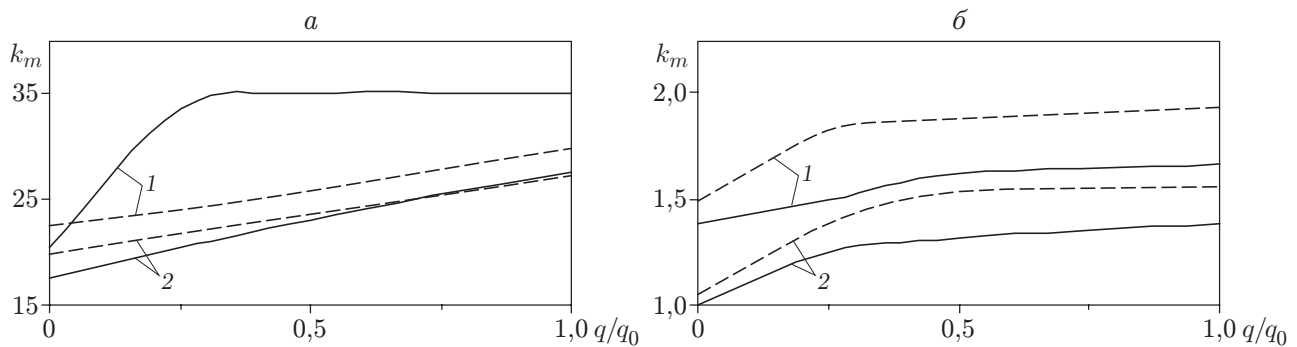


Рис. 6. Зависимости параметра k_m от параметра q/q_0 :
а — $F_c > 0$; б — $F_c = 0$

к контуру эллипса с полуосями $a = 1900$ мм, $b = 2050$ мм. Отсек (далее оболочка) имеет длину $L = 500$ мм (шаг шпангоутов), толщину $h = 3,2$ мм, выполнен из материала с модулем упругости $E = 0,7 \cdot 10^4$ МПа, коэффициентом Пуассона $\nu = 0,3$. Площадь поперечного сечения стрингеров $F_c = 306$ мм², момент инерции $J_c = 41\,000$ мм⁴, шаг стрингеров $d_c = 150$ мм, эксцентриситет (расстояние от центра тяжести поперечного сечения стрингера до срединной поверхности оболочки) $e_c = 10$ мм. Оболочка нагружена внутренним давлением q и изгибающим моментом M , действующим в вертикальной или горизонтальной плоскости, и трактуется как конструктивно-анизотропная [3].

На рис. 6 показаны зависимости параметра $k_m = M^*/M_0$ от параметра q/q_0 (M^* — критическое значение момента; $M_0 = 2 \cdot 10^9$ Н·см, $q_0 = 0,2$ МПа) для случаев подкрепленной ($F_c > 0$) и неподкрепленной ($F_c = 0$) оболочек для линейного и нелинейного докритических состояний (штриховые и сплошные кривые соответственно). Кривые 1 соответствуют действию изгибающего момента в вертикальной плоскости, кривые 2 — в горизонтальной. Видно, что критический момент, действующий в вертикальной плоскости подкрепленной оболочки, больше момента, действующего в горизонтальной плоскости. При малых значениях параметра q/q_0 у подкрепленной оболочки влияние нелинейности больше, чем у неподкрепленной. В случае действия изгибающего момента в вертикальной плоскости у подкрепленной оболочки нелинейность докритического состояния приводит к повышению критической нагрузки, а у неподкрепленной — к ее понижению. В случае дей-

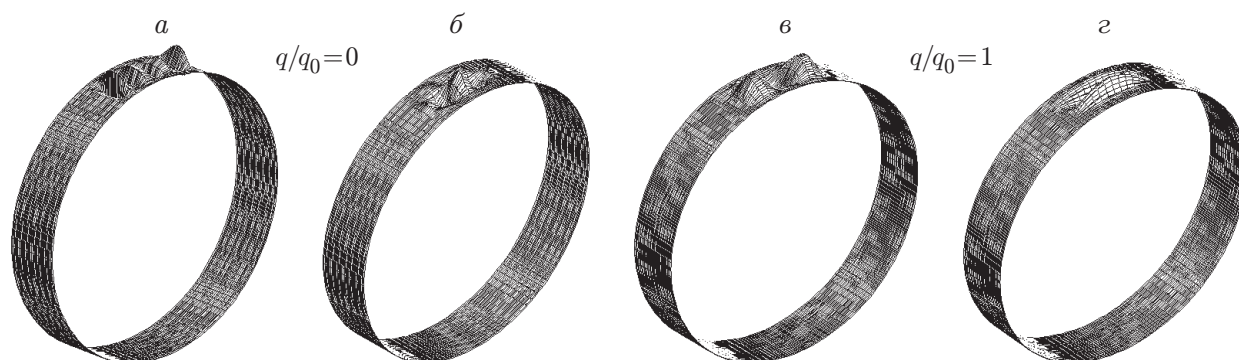


Рис. 7. Формы потери устойчивости при действии изгибающего момента в вертикальной плоскости подкрепленной (*а, в*) и неподкрепленной (*б, г*) оболочек

ствия изгибающего момента в горизонтальной плоскости влияние нелинейности больше для неподкрепленной оболочки.

На рис. 7 представлены формы потери устойчивости при действии изгибающего момента в вертикальной плоскости неподкрепленной и подкрепленной оболочек при значениях параметра $q/q_0 = 0, 1$. Видно, что оболочка теряет устойчивость в верхней части в зоне действия максимальных сжимающих нормальных усилий. Кроме того, форма потери устойчивости оболочки качественно меняется в зависимости от подкрепления и действия внутреннего давления. Так, подкрепленные оболочки при отсутствии внутреннего давления теряют устойчивость с образованием по дуге двух волн (рис. 7, *а*), при наличии внутреннего давления — с образованием одной волны (рис. 7, *в*). Неподкрепленные оболочки при отсутствии внутреннего давления теряют устойчивость с образованием в верхней части полуволны (рис. 7, *б*), при наличии внутреннего давления — с образованием двух полуволн (рис. 7, *г*).

ЛИТЕРАТУРА

1. Железнов Л. П., Кабанов В. В. Конечный элемент и алгоритм исследования нелинейного деформирования и устойчивости некруговых цилиндрических оболочек // Прикладные проблемы механики тонкостенных конструкций. М.: Изд-во Моск. гос. ун-та, 2000. С. 120–127.
2. Железнов Л. П., Кабанов В. В. Исследование нелинейного деформирования и устойчивости некруговых цилиндрических оболочек при осевом сжатии и внутреннем давлении // ПМТФ. 2002. Т. 43, № 4. С. 155–160.
3. Кабанов В. В. Устойчивость неоднородных цилиндрических оболочек. М.: Машиностроение, 1982.

*Поступила в редакцию 4/IV 2005 г.,
в окончательном варианте — 22/VI 2005 г.*